

УДК 681.587.712.002:66.017

**К.М. Сухий, М.П. Сухий, Я.М. Козлов, О.В. Коломієць, В.І. Кравець, О.В. Лещенко,
О.А. Беляновська, М.М. Томило**

СТВОРЕННЯ СЕНСОРІВ ВОЛОГОСТІ НА ОСНОВІ ОРГАНО-НЕОРГАНІЧНИХ НАНОСТРУКТУРОВАНИХ СОРБЕНТІВ

**ДВНЗ «Український державний хіміко-технологічний університет», м. Дніпропетровськ
Хіміко-економічний ліцей, м. Дніпропетровськ**

Одержані неорганічні та органо-неорганічні протонопровідні матеріали з використанням методу золь-гель синтезу, провідність в яких реалізується за рахунок протонів, що утворюються з рухливого водню фосфорнокислотних груп, які містяться у складі гібридного органо-неорганічного нанокомпозиту та рухливих протонів кислотних груп, що містяться в його органічних складових.

Вступ

Силікофосфати, для яких характерні високі рівні протонної провідності, є перспективними матеріалами для електроактивних елементів сенсорів вологості та електрохімічних сенсорів [1]. Однак, їх практичне використання обмежується низькими показниками механічних властивостей та гідролітичної стійкості [2], тому доцільно визначити оптимальний склад мембраних матеріалів такого типу. Відповідні мембрани повинні характеризуватись високими (до 10^{-2} – 10^{-4} См/см) рівнями протонної провідності та оптимізованими величинами міцності та еластичності.

Силікофосфатні золь-гель матеріали є нанокомпозитами, до складу яких входять силікатна матриця та насичуючий її іонпровідний компо-

нент – ортофосфорна кислота, та можуть мати в своєму складі модифікуючі органічні низько-або високомолекулярні добавки різної природи. Матеріали такого типу зазвичай структуруються у вигляді фрактально-агрегованих наноструктур. Рівні іонної провідності останніх залежать від типу фрактальної агрегації та кількісних параметрів фрактальної структури [3]. Тому для контролю процесу створення мембраних матеріалів необхідне проведення моніторингу їх структурно-морфологічних особливостей і властивостей іонної (протонної) провідності з використанням методів малокутового розсіяння рентгенівських променів (МКРП) [4] та імпедансної спектроскопії.

Здійснені раніше дослідження [5] свідчать про фрактальний характер морфології сформова-

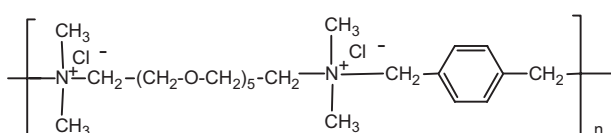
них нанокомпозитів, тобто наявність в них як масово- так і поверхнево-фрактальних агрегатів. Фрактальні структури є багаторівневими. Кількісні характеристики фрактальної агрегації, такі як: значення фрактальної розмірності, розміри фрактальних агрегатів і ступінь агрегації частинок нижчого рівня у фрактальних агрегатах вищого рівня залежать від співвідношення неорганічних компонентів ($\text{SiO}_2/\text{H}_3\text{PO}_4$), молекулярної структури, вмісту органічних модифікаторів і типу аніонів.

Органо-неорганічні силікофосфатні нанокомпозитні матеріали з використанням полімерних четвертинних амонієвих солей (полійоненів) демонструють високі рівні протонної провідності (10^{-2} – 10^{-3} Ом $^{-1}$ см $^{-1}$ при кімнатній температурі) [5], що робить перспективним їх використання у якості матриць для виготовлення сенсорів вологості [6–11].

Метою даного дослідження є створення сенсорів вологості, в якості матеріалу активного шару яких використовували органо-неорганічні силікофосфатні нанокомпозитні матеріали та вивчення їх протонпровідних характеристик у діапазоні частот від 0,01 до 100 кГц в умовах контролюваної температури і вологості.

Експериментальна частина

У роботі золь-гель методом на основі тетраетокисилану та ортофосфорної кислоти синтезовано два види силікофосфатних нанокомпозитів з органічною (OHCH) та без органічної (CH) складової. У якості органічної складової використана полімерна четвертинна амонієва сіль наступної хімічної будови:



Склади вихідних розчинів та характеристики силікофосфатних нанокомпозитів наведені в [12]. Використання полійонену в синтезі силікофосфатних нанокомпозитів призводить до утворення матеріалів з більш високою механічною міцністю та еластичністю у порівнянні з вихідними силікофосфатними нанокомпозитами. Внаслідок реакцій гідролізу та поліконденсації сформовано нанопоруватий композитний матеріал, який складався з SiO_2 -каркаса, що утворює систему мікро- і мезопор, заповнених протонпровідним електролітом – ортофосфорною кислотою.

Для виготовлення лабораторних зразків сенсорів вологості використано пластинки із ситалу марки С-50-1-06 з розмірами 15×6 мм 2 . На їх поверхню методом напилення нанесено зустрічно-ширеві електроди, відстань між якими складала 400 мкм. Металізація електродів двошарова:

нижній шар ~0,1 мкм Сг, верхній – ~0,3 мкм Ni.

На всю поверхню пластиинки з використанням золей на основі тетраетокисилану було нанесено шари органо-неорганічних силікофосфатних нанокомпозитних матеріалів товщиною ~50 мкм.

Для вимірювання імпедансних характеристик сенсорів вологості виготовлений дослідний стенд. Сенсор було зафіксовано в затискачі з електричними виводами, які забезпечують підключення сенсора до входу діелектричного спектрометра. Затискач конструктивно використовувався як кришка мінібюкса, у якому внаслідок наявності перенасичених розчинів солей підтримувались задані рівні відносної вологості у діапазоні від 23,5% до 96,5% при 303 K (23,5% RH – $\text{NH}_4\text{NO}_3 + \text{Ca}(\text{NO}_3)_2 \cdot 4\text{H}_2\text{O}$, 59,4% RH – $\text{Ca}(\text{NO}_3)_2 \cdot 4\text{H}_2\text{O}$, 84,0% RH – KCl , 96,5% RH – K_2SO_4). На рис. 1 наведено вигляд затискача з досліджуваним сенсором та конструкції вимірювальної комірки в зборі.



Рис. 1. Сенсор вологості в затискачі

Ширококутові (ШК) і малокутові (МК) рентгенівські дослідження нанокомпозитів проводили з використанням методів, описаних в [13]. Обробка даних ШК і МК розсіяння проводилась з використанням програм, описаних в [13]. Для отримання кількісних характеристик фрактальних структур криві МК розсіяння моделювали з використанням методу глобальних уніфікованих функцій Бьюкейджа (G. Beaucage) [14,15].

Цей метод дозволяє проводити ефективну діагностику наносистем різного типу шляхом моделювання розсіяння багаторівневими фрактальними структурами [11]. В результаті підгонки модельних кривих до експериментальних можна визначати такі структурні параметри, як: тип фрактальних агрегатів (масові або поверхневі), фрактальну розмірність, розміри агрегатів і число первинних частинок нижчого рівня у фрактальних агрегатах більш високого масштабного рівня. Рівняння, що описує довільне число взаємозв'язаних структурних рівнів, має вигляд [15]:

$$I(q) = \sum_{i=1}^n \left(G_i \exp(-q^2 R_{g_i}^2 / 3) + B_i \exp(-q^2 R_{g_{(i+1)}}^2 / 3) \times \left[\left[\operatorname{erf}\left(q R_{g_i} / 6^{1/2} \right) \right]^3 \right]^{p_i} \right)$$

де G_i – коефіцієнт при співвідношенні Гінье для i -го рівня; B_i – коефіцієнт при члені Порода для степенної залежності логарифма інтенсивності від логарифму хвильового вектора; P_i – експонента, що визначає фрактальну розмірність агрегатів i -го рівня (для поверхневих фракталів $4 > P_i > 3$, для масових фракталів $P_i < 3$).

Фрактальна розмірність масового фрактала $D_m = P_i$, а фрактальна розмірність поверхневого фрактала $D_s = 6 - P_i$; R_g – радіус обертання фрактального агрегату i -го рівня.

Діелектричні характеристики та рівні протонної провідності сенсорів вологості з нанокомпозитним силікофосфатним чутливим шаром досліджувались при температурі 303 К з використанням методу діелектричної спектроскопії. Для таких вимірювань використовували діелектричний спектрометр в діапазоні частот від 0,1 до 100 кГц.

Вимірювальну комірку з досліджуваним сенсором розміщено в термостаті, який монтується на ємності Дьюара зі зрідженим азотом. Досягнення заданого рівня температури вимірювань забезпечується шляхом обдуву зразка струменем азоту з контролюваною температурою. Така система термостатування забезпечує варіювання і стабілізацію температури вимірювань у діапазоні від 200 до 413 К.

Результати та їх обговорення

Всі криві ШК рентгенівського розсіяння досліджуваних нанокомпозитів характеризуються наявністю в ширококутовому діапазоні кутів розсіяння (від 2 до 40°) одного дифузного максимума. Це свідчить про аморфний характер близької впорядкованості досліджуваних нанокомпозитів. Останнє спостерігається для багатьох золь-гель матеріалів [11,12].

Криві МК розсіяння досліджуваних нанокомпозитів представлені на рис. 2, 3. Ці криві наведені в форматі: $\log(I) = f(\log(q))$ (I – абсолютна інтенсивність, $q = \frac{4\pi \sin(\theta)}{\lambda}$, q – половина кута розсіяння, l – довжина хвилі рентгенівського випромінення). Відповідно, $l = \frac{2\pi}{q}$ є мірою ха-

рактеристичної довжини.

Криві МК розсіяння як для вихідного силікофосфатного нанокомпозиту, так і для органо-неорганічного силікофосфатного нанокомпозиту характеризуються наявністю трьох лінійних ділянок. Це свідчить про формування трирівневої (в порядку зростання 1 – нижчий, середній і вищий рівні) фрактальної структури в даних нанокомп'ютах.

Суцільними лініями на рис. 2, 3 позначені розраховані криві, які моделюють розсіювання багаторівневою фрактальною структурою. Лінійні ділянки кривих відповідають ділянкам скейлінгової поведінки, а цифри над ними вказують величини нахилів таких ділянок.

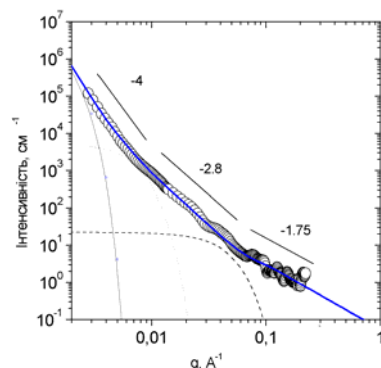


Рис. 2. Крива малокутового розсіяння силікофосфатного нанокомпозиту (CH)

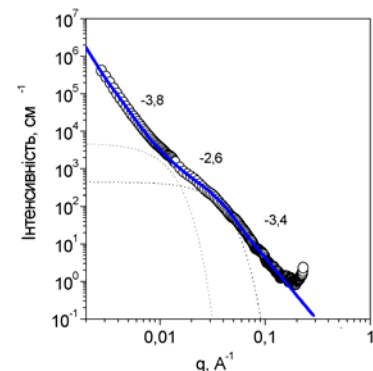


Рис. 3. Крива малокутового розсіяння органо-неорганічного силікофосфатного нанокомпозиту (OHCN)

Параметри фрактальної структури силікофосфатних нанокомпозитів

| Код зразка | Структурний рівень | Нахил лінійної ділянки | Тип фрактального агрегату | Фрактальна розмірність | $Rg_i, \text{ нм}^*$ | $D_{eq}, \text{ нм}^{**}$ |
|------------|--------------------|------------------------|---------------------------|------------------------|----------------------|---------------------------|
| CH | 1 | 1,75 | Масовий | 1,75 | 4,2 | 11 |
| | 2 | 2,80 | Масовий | 2,80 | 27,0 | 70 |
| | 3 | 4,00 | Поверхневий | 2,00 | 130,0 | 340 |
| OHCN | 1 | 3,40 | Поверхневий | 2,60 | 5,5 | 14 |
| | 2 | 2,60 | Масовий | 2,60 | 18,0 | 50 |
| | 3 | 3,80 | Поверхневий | 2,20 | 150,0 | 400 |

Примітка: * Rg_i – радіус обертання фрактального агрегату; ** D_{eq} – діаметр еквівалентної сфери, яка описує просторові розміри фрактального агрегату

Нахили лінійних ділянок рис. 2, 3 та характеристики структурної організації досліджуваних нанокомпозитів наведені в таблиці.

З рис. 2, 3 видно, що криві МК розсіяння всіх досліджуваних матеріалів демонструють наявність трьох лінійних ділянок, що є свідченням трирівневої фрактальної агрегації досліджуваних систем. Але при переході від неорганічних силікофосфатів до органо-неорганічних структурна організація зазнає суттєвих змін. При утворенні вихідного силікофосфатного композиту спочатку формуються досить пухкі агрегати зі структурою масового фракталу, що на більш високому масштабному рівні формують іншу, більш щільну сітку неорганічного полімеру. Нарешті, на третьому рівні ієрархії відбувається переформування цієї структури з утворенням поверхнево-фрактальних кластерів з дуже гладкою поверхнею.

Для органо-неорганічних нанокомпозитів первинним елементом структури є поверхневий фракталь (або суцільна частинка). На другому рівні структури формуються масово-фрактальні утворення, які характеризуються шорсткуватою поверхнею. І, нарешті, третій рівень структури характеризується, як і у випадку неорганічного композиту, утворенням кластерів з гладкою поверхнею.

На рис. 4 наведена схематична модель багаторівневої фрактальної агрегації досліджуваних нанокомпозитів.

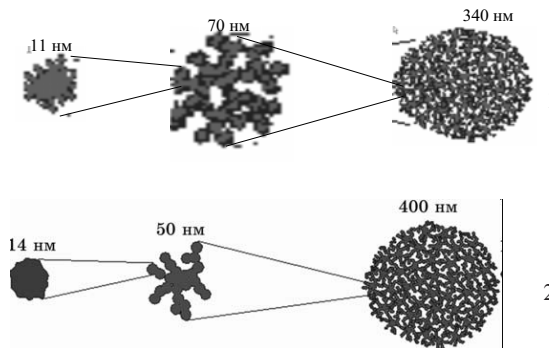


Рис. 4. Схематичне представлення особливостей багаторівневої фрактальної впорядкованості досліджуваних нанокомпозитів: 1 – базовий силікофосфатний нанокомпозит CH; 2 – органо-неорганічний силікофосфатний нанокомпозит OHCH

На рис. 5 наведені залежності провідності на змінному струмі від відносної вологості отримані для досліджуваних зразків сенсорів вологості при 303 К та частоті 1 кГц у напівлогарифмічних координатах. Складна багаторівнева структура силікатного каркасу забезпечує утримання протонпровідного електроліту – ортофосфорної кислоти в досліджуваних композитах. Рівні іонної провідності є високими і досягають 10^{-2} – 10^{-3} $\text{Ом}^{-1}\text{см}^{-1}$ при кімнатній температурі.

Значення провідності на змінному струмі демонструють варіації даної характеристики ($\sigma_{\max}/\sigma_{\min}$) для сенсорів вологості у дослідженному

діапазоні відносної вологості в на 3–4 порядки. Однак, для органо-неорганічного нанокомпозиту залежність провідності від вологості більш лінійна, а рівень провідності на порядок більш високий у порівнянні з вихідним силікофосфатним нанокомпозитом.

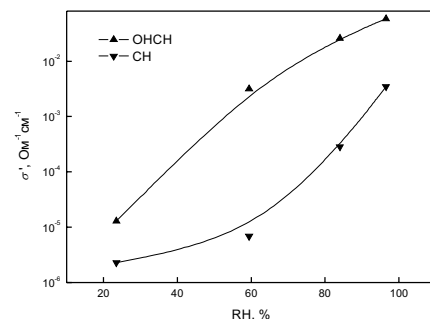


Рис. 5. Залежності питомої провідності на змінному струмі при температурі 303 К та частоті 1 кГц від відносної вологості для досліджуваних нанокомпозитів

Рівні значень протонної провідності та діапазон змін даної характеристики для досліджених зразків сенсорів вологості при варіюванні вологості середовища є достатнім для застосування досліджених нанокомпозитних матеріалів у якості активного середовища резистивних сенсорів вологості.

Висновки

Використання полімерної компоненти забезпечує можливість отримувати задовільні механічні характеристики і рівні провідності нанокомпозитів з метою оптимізації їх експлуатаційних характеристик, що дозволяє використовувати такі нанокомпозити у якості матеріалу активного середовища резистивних і електрохімічних сенсорів.

Виготовлено лабораторні зразки сенсорів вологості на основі підкладок, які містять взаємопроникні електроди з нанесеними на них чутливими шарами отриманих за золь-гель методом силікофосфатних матеріалів. Встановлено, що при варіюванні значень відносної вологості середовища від 23,5 до 96,5% значення провідності змінного струму зростають на 3–4 порядки.

СПИСОК ЛІТЕРАТУРИ

1. *Transparent Anatase Nanocomposite Films by the Sol-Gel Process at Low Temperatures* / Hirata K., Matsuda A., Hirata T., Tatsumisago M. and Minami T. // *J. Sol-Gel Sci. Techn.* – 2000. – № 17(1). – C.61-69.
2. *Proton Conductivity at Medium Temperature Range and Chemical Durability of Phosphosilicate Gels Added with a Third Component* / Matsuda A., Nono Y., Tadanaga K., Minami T., Tatsumisago M. // *Solid State Ionics*. – 2003. – № 162-163. – C.253-259.
3. *Zook L.A., Leddy J. Experimental studies of diffusion*

Створення сенсорів вологості на основі органо-неорганічних наноструктурованих сорбентів

- on fractal surfaces // J. Phys Chem. — 1998. — № 102. — C.10013-10019.
4. *Диагностика наносистем. Многоуровневые фрактальные наноструктуры / А.П. Шпак, В.В. Шилов, О.А. Шилова, Ю.А. Куницкий. — К.: Академпериодика, 2004. — Ч.ІІ. — 112 с.*
5. *Вплив складу та умов синтезу органо-неорганічних полійоненвмістних золь-гель нанокомпозитів на особливості їх фрактальної структури та протонної провідності / Шпак А.П., Куницький Ю.А., Гомза Ю.П., Несін С.Д., Сухий К.М., Сперкач С.О., Леонов Д.С. // Наносистеми, наноматеріали, нанотехнології. — 2005. — Т.3. — № 4. — С.963-974.*
6. *Sakai Y., Sadaoka Y., Ikeuchi K. Humidity sensors composed of grafted copolymers // Sensors and Actuators. — 1986. — № 9. — С.125-132.*
7. *Randin J.P., Ziillig F. Relative humidity measurements using a coated piezoelectric quartz crystal sensor // Sensors and Actuators. — 1987. — № 11. — С.319-328.*
8. *Sakai Y., Sadaoka Y. Humidity-sensitive and water-resistive polymeric materials // Sensors and Actuators. — 1988. — № 13. — С.243-250.*
9. *Sakai Y., Sadaoka Y., Matsuguchi M. A humidity sensor using cross-linked quaternized polyvinylpyridine // J. Electrochem. Soc. — 1989. — № 136. — С.171-174.*
10. *A humidity sensor using polytetrafluoroethylene-graft-quaternized polyvinylpyridine / Sakai Y., Sadaoka Y., Matsuguchi M., Kanakura Y., Tamura M. // J. Electrochem. Soc. — 1991. — № 138. — С.2474-2478.*
11. *Шилова О.А., Шилов В.В. Нанокомпозиционные оксидные и гибридные органо-неорганические материалы, получаемые золь-гель методом. Синтез. Свойства. Применение // Наносистемы. Наноматериалы. Нанотехнологии. — 2003. — Т.1. — № 1. — С.9-83.*
12. *Синтез, фрактальна структура та параметри протонної провідності органо-неорганічних золь-гель нанокомпозитів / Бурмістр М.В., Гомза Ю.П., Сухий К.М., Клепко В.В., Несін С.Д., Бурмістр Є.М. // Вопр. хімии и хим. технології. — 2007. — № 2. — С.126-133.*
13. *Brinker C.J., Scherer G.W. Sol-Gel Science. The Physics and chemistry of Sol-Gel Process. — San Diego: Academic Press, 1990. — 908 с.*
14. *Липатов Ю.С., Шилов В.В., Гомза Ю.П. Рентгенографические методы изучения полимерных систем. — К.: Наук. думка, 1982. — 295 с.*
15. *Beaucage G. Approximations Leading to a Unified Exponential/Power-Law Approach to Small-Angle Scattering // J. Appl. Crystallogr. — 1995. — № 28. — С.717-728.*
16. *Beaucage G. Small-Angle Scattering from Polymeric Mass Fractals of Arbitrary Mass-Fractal Dimension // J. Appl. Crystallogr. — 1996. — № 29. — С.134-146.*

Надійшла до редакції 10.06.2013